

Projeto 1: Transformada Rápida de Radon

Marcos Teixeira

21 de abril de 2018

1 Descrição

Na tomografia computadorizada, o problema de reconstrução tomográfica é obter uma imagem tomográfica de um conjunto de projeções [1]. Uma projeção é formada desenhando um conjunto de raios paralelos através do objeto 2D de interesse, atribuindo a integral do contraste do objeto ao longo de cada raio a um único pixel na projeção. Uma única projeção de um objeto 2D é unidimensional. Para permitir a reconstrução da tomografia computadorizada do objeto, várias projeções devem ser adquiridas, cada uma delas correspondendo a um ângulo diferente entre os raios em relação ao objeto.

Nesse contexto, a Transformada de Radon trata o problema de reconstrução a partir de projeções. Portanto, se uma função $f(x, y)$ representa uma função de densidade desconhecida, a Transformação de Radon representa os dados de projeção obtidos como a saída de uma varredura tomográfica. Uma característica forte é que a transformada de Radon de um número de pequenos objetos aparece graficamente como um número de ondas senoidais borradas com diferentes amplitudes e fases [2]. A transformada inversa de Radon é usada na tomografia computadorizada para reconstruir uma imagem 2D ou 3D a partir das projeções medidas. Uma implementação prática e exata da transformação inversa do Radon não existe, mas existem vários bons algoritmos aproximados disponíveis. Como a transformação inversa de Radon reconstrói o objeto a partir de um conjunto de projeções, a transformada do Radon (forward) pode ser usada para simular um experimento de tomografia.

Para este projeto a tarefa é implementar a Transformada Rápida de Radon, que baseia-se no Teorema Central de Fourier para efetuar de uma maneira mais eficiente essa transformada. Nas seções posteriores apresentamos os detalhes deste método, bem como os resultados em algumas imagens 2D.

2 Transformada de Radon

A matemática por trás da tomografia aplica algoritmos para a reconstrução de imagens. Teoricamente procura-se encontrar a função f , uma vez que sejam conhecidas as integrais de linha ao longo de infinitas direções no plano [3]. Na prática, é claro, tem-se uma amostragem dessas integrais de linha apenas para um número finito de direções.

A integral de linha que define a projeção pode ser escrita na forma de uma transformada, definida por Johann Radon, conhecida como Transformada de Radon. Nessa transformada, considerando o caso 2D, para cada rotação $\theta \in [0, 180)$ de um sistema fonte-sensor em torno do centro da imagem, com atenuações $f(x, y)$, esta transformada gera uma linha da imagem da projeção $R(\rho, \theta)$, cujos valores somam as atenuações $f(x, y)$ da imagem sobre o segmento de reta que liga a fonte ao sensor. Portanto, a imagem resultante pode ser expressa pela seguinte equação:

$$R(\rho, \theta) = \int_{-\infty}^{\infty} \int_{-\infty}^{\infty} f(x', y') \delta(y' - y) dx' dy',$$

onde $y = ax + b$ é a equação do segmento de reta ortogonal à direção do eixo γ e a função σ considera apenas as atenuações $f(x', y')$ da imagem, tais que y' satisfaz a equação do segmento de reta.

O pipeline de execução da Transformada de Radon pode ser expresso da seguinte maneira:

- i Criar a imagem de saída $R(180, D)$
- ii Para $\theta=0$ até 180 faça
 - (a) Criar a matriz de Radon M
 - (b) Aplicar M em cada ponto p da imagem
 - (c) Adicionar em $R(\theta, \rho)$ o valor acumulado das intensidades
- iii Retornar R

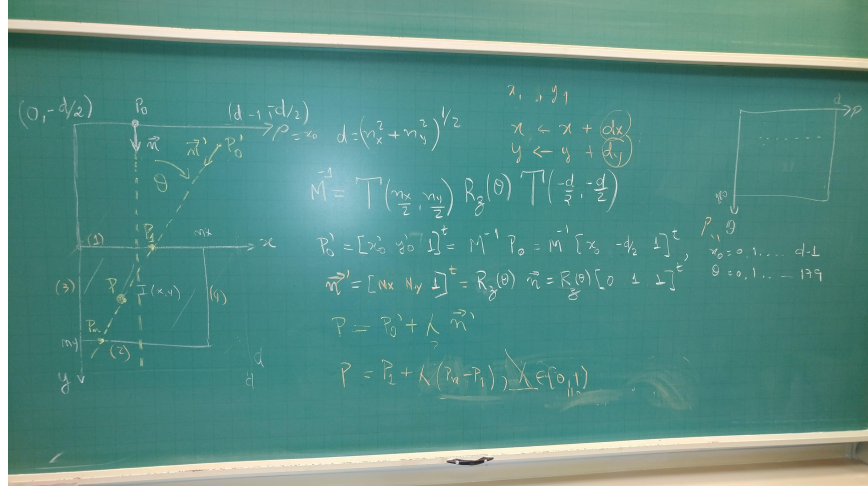
, onde a matriz M é igual a

$$M = \begin{bmatrix} 1 & 0 & 0 & d/2 \\ 0 & 1 & 0 & d/2 \\ 0 & 0 & 1 & 0 \\ 0 & 0 & 0 & 1 \end{bmatrix} * \begin{bmatrix} 1 & 0 & 0 & 0 \\ 0 & \cos \theta & -\sin \theta & 0 \\ 0 & -\sin \theta & \cos \theta & 0 \\ 0 & 0 & 0 & 1 \end{bmatrix} * \begin{bmatrix} 1 & 0 & 0 & n_x/2 \\ 0 & 1 & 0 & n_y/2 \\ 0 & 0 & 1 & 0 \\ 0 & 0 & 0 & 1 \end{bmatrix}$$

com $D = \sqrt{n_x^2 + n_y^2}$ e n_x igual a largura e n_y a altura da imagem de entrada.

3 Transformada Rápida de Radon

Para melhorar a performance da formulação original da Transformada de Radon, vários outros algoritmos já foram propostos. Neste projeto nós implementamos uma forma mais intuitiva e que oferece um bom ganho de performance. A ideia principal dessa abordagem está na observação de que é muito custoso aplicar a matriz de Radon na imagem em si. Portanto, a proposta é realizar a rotação na linha ρ e deixar a imagem parada. Esta



sutil modificação já produz uma melhoria significativa na performance da Transformada de Randon.

Uma formulação matemática desta abordagem é apresentada na Figura 3. A reta ρ tem tamanho $D = \sqrt{nx^2 + ny^2}$ (nx =altura e ny =largura) e lança raios em direção da imagem de entrada. Como iremos girar a reta ao invés do plano, a matriz de Radon nesse caso será a inversa da matriz utilizada no algoritmo original. Esta matriz está apresentada na figura como M^{-1} , composta então de uma translação de $(nx/2, ny/2)$, uma rotação no eixo z de θ graus e uma translação de $(-D/2, -D/2)$. Esta matriz será aplicada em cada ponto P_0 da reta, gerando o novo ponto P_0' . O vetor normal, diferente do que é sugerido na equação da figura, foi feito também utilizando a matriz M^{-1} produto com a o vetor normal a P_0' .

$$P = (x'_0, y'_0) + \lambda(N_x, N_y) = (x'_0 + \lambda N_x, y'_0 + \lambda N_y) \quad (1)$$

Dado isso, nós temos a equação da reta (Equação 1) necessária para calcular nosso DDA. No entanto, precisamos definir qual o ponto P_1 e P_n que representam onde o raio entrou e onde ele saiu na imagem, respectivamente. Analiticamente, só existirão 4 pontos possíveis de interesse nesse caso:

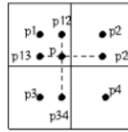
1. $y = 0$, resultando em $\lambda = -y'_0/N_y$
2. $y = n_y - 1$, resultando em $\lambda = (n_y - 1 - y'_0)/N_y$
3. $x = 0$, resultando em $\lambda = -x'_0/N_x$
4. $x = n_x - 1$, resultando em $\lambda = (n_x - 1 - x'_0)/N_x$

Destes 4 valores de lambdas possíveis, nós encontraremos 2 válidos que irão caracterizar o pontos P_1 e P_n . O valor de menor lambda será atribuído a equação da reta para encontrar P_1 e o maior lambda para encontrar P_n . Note que é necessário garantir que N_x e N_y não sejam 0 para que os testes das equações acima funcionem.

Algorithm 1: DDA

Data: Imagem *img*; Ponto *P1*; plano de bits *Pn*
Result: Acumulado do brilho dos pontos de *P1* a *Pn*
if *p1* = *pn* **then**
 n = 1
else
 Dx = *x_n* - *x₁*
 Dy = *y_n* - *y₁*
 if $|Dx| > |Dy|$ **then**
 n = $|Dx| + 1$
 dx = *sign*(*Dx*)
 dy = (*dxDy*)/*Dx*
 else
 n = $|Dy| + 1$
 dy = *sign*(*Dy*)
 dx = (*dyDx*)/*Dy*
 (*x_p*, *y_p*) = (*x₁*, *y₁*)
 for *k* ∈ {1, ..., *n*} **do**
 J += *I*[*x_p*, *y_p*]
 (*x_p*, *y_p*) = (*x_p* + *dx*, *y_p* + *dy*)
 return *J*

Posteriormente, o algoritmo DDA será utilizado para encontrar todos os pontos da linha entre *P1* e *Pn*. O pseudocódigo deste algoritmo é apresentado no Algorithm 1. Além de encontrar esses pontos, o DDA acumula os brilhos dos respectivos pontos que for passando. Como as coordenadas *x* e *y* são reais, duas estratégias foram adotadas para a resposta do DDA: aplicar um *ROUND* das coordenadas e aplicar interpolação linear. Esperamos que o resultado utilizando interpolação linear possua menos buracos que na abordagem que só realiza o *ROUND*, dado que de um lado estaremos fazendo uma estimativa linear do brilho do pixel e do outro lado estaremos apenas truncando o valor das coordenadas. Esta interpolação foi implementada seguindo as equações da Figura 3.



$$\begin{aligned} I_p &= (y_p - y_{p12})I_{p34} + (y_{p34} - y_p)I_{p12} \\ I_{p12} &= (x_p - x_{p1})I(p2) + (x_{p2} - x_p)I(p1) \\ I_{p34} &= (x_p - x_{p3})I(p4) + (x_{p4} - x_p)I(p3) \end{aligned}$$

O trecho de código implementado para fazer a interpolação está apresentado abaixo:

```
1 int LinearInterpolationValue(iftImage *img, float x, float y)
2 {
```

```

3   iftVoxel u[4];
4   float dx = 1.0;
5   float dy = 1.0;
6   float P12, P34;
7   int Pi;
8
9   if ((int)(x + 1.0) == img->xsize)
10      dx = 0.0;
11   if ((int)(y + 1.0) == img->ysize)
12      dy = 0.0;
13
14   //closest neighbour in each direction
15   u[0].x = (int)x;      u[0].y = (int)y;
16   u[1].x = (int)(x + dx); u[1].y = (int)y;
17   u[2].x = (int)x;      u[2].y = (int)(y + dy);
18   u[3].x = (int)(x + dx); u[3].y = (int)(y + dy);
19
20
21   P12 = (float)iftImgVal2D(img,u[1].x,u[1].y) * (x - u[0].x) + (float)
iftImgVal2D(img,u[0].x,u[0].y) * (u[1].x - x);
22   P34 = (float)iftImgVal2D(img,u[3].x,u[3].y) * (x - u[2].x) + (float)
iftImgVal2D(img,u[2].x,u[2].y) * (u[3].x - x);
23   Pi = (int)P34 * (y - u[0].y) + P12 * (u[2].y - y);
24
25
26   return Pi;
27 }

```

Listing 1: Implementação da Interpolação

“newlabel3528

Sumarizando, o pipeline de funcionamento da Transformada Rápida de Radon pode ser desfinida da seguinte forma:

- i Criar a imagem $R(180, D)$
- ii Criar o vetor normal $[0, 1, 0, 0]$
- iii Para $\theta=0$ até 180 faça
 - (a) Criar a matriz de Radon M^{-1}
 - (b) Criar o vetor $P_0 = [p, -D/2, 0, 1]$
 - (c) Calcular o vetor $P'_0 = M^{-1} * P_0$
 - (d) Testar se existe interseção, se tiver:
 - i. chamar o DDA para obter a acumulação das intensidades J na linha
 - ii. $R(\theta, p) = J$
 - (e) caso contrário, $R(\theta, p) = 0$
- iv Retornar R

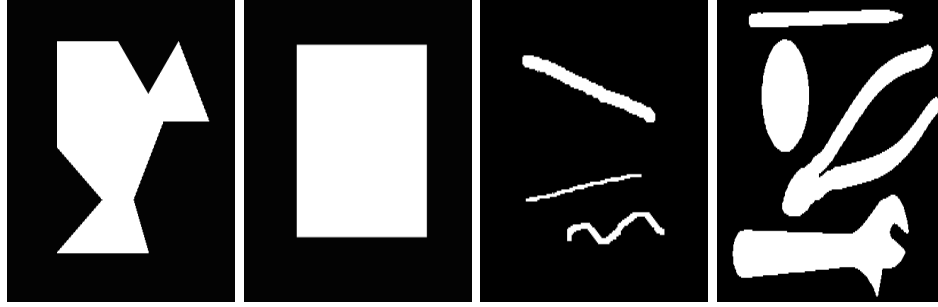


Figura 1: Imagens de entrada

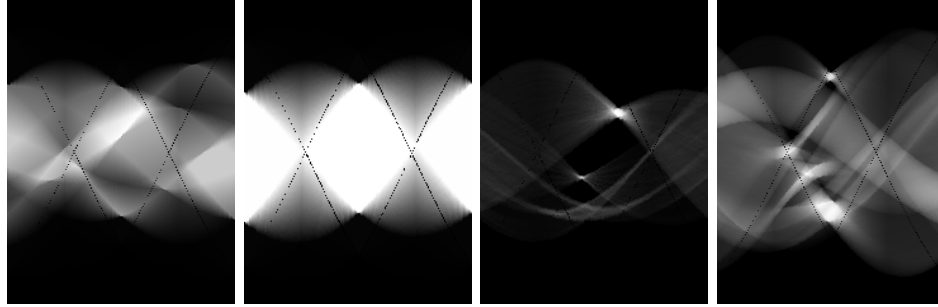


Figura 2: Transformada Rápida de Radon sem interpolação

4 Resultados

Nesta seção apresentamos os resultados obtidos em algumas imagens de teste. As imagens de saída são da forma $(180, D)$, onde D é igual a $\sqrt{nx^2 + ny^2}$, representando a diagonal da imagem. Para padronizar as figuras nesse relatório, dado que esse D depende de cada imagem, nós limitamos a altura e largura para 3cm e altura para 4cm para todas as imagens.

Na Figura 4 mostramos os resultados da Transformada Rápida de Radon em 4 imagens de teste. Nesse primeiro experimento não empregamos a interpolação, ou seja, tomando apenas o valor arredondado das coordenadas ao executar o algoritmo DDA. Como esperado, vários buracos apareceram nas imagens da transformação.

Aplicando a interpolação, nós obtivemos os resultados apresentados na Figura 4. Intrigantemente, o comportamento esperado com a aplicação do processo de interpolação (redução de buracos na imagem) não foi satisfeito para esses exemplos de teste, pelo menos visualmente. As imagens geradas aparentam ser o mesmo resultado da abordagem que não utiliza interpolação.

5 Conclusão

Neste trabalho foi apresentado uma implementação para melhoria da Transformada de Radon original. Essa variante consiste na rotação da linha ρ que projeta vários raios em



Figura 3: Imagens de entrada

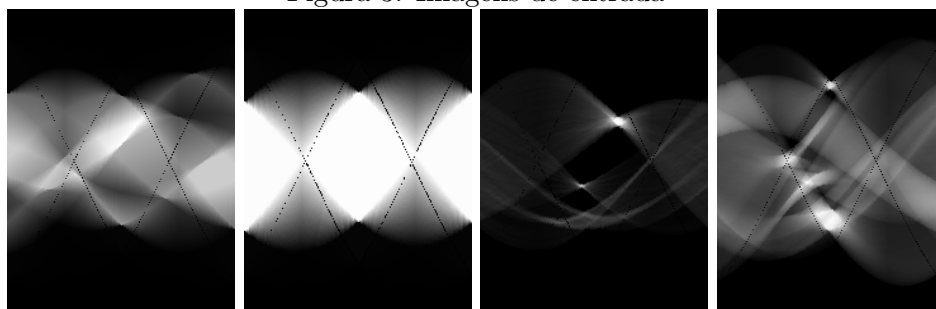


Figura 4: Transformada Rápida de Radon com interpolação

direção a imagem, ao invés de rotacionar a imagem em si, que encarece muito o processo da Transformada original. Através desta modificação, conseguimos obter melhorias de tempo significativas, como apresentadas na Tabela Também analisamos o uso de interpolação linear no processo do DDA acumular as intensidades de $P1$ até Pn . No entanto, os resultados visualmente não mostraram melhoria com relação ao método usando *ROUND*. Uma hipótese para os buracos que ficam tanto no resultado com interpolação e sem interpolação, é que existam descontinuidades claras nas imagens de entrada.

Apesar das dificuldades iniciais com a implementação, o trabalho fluiu de forma satisfatória. Do ponto de vista conceitual, esse trabalho é muito importante para o resto da disciplina, pois envolve mecanismos que são empregados em várias outras técnicas de Rendering (DDA, calcular intersecção, matrizes de transformação, etc.). Portanto, o aprendizado obtido nessa tarefa será muito bem utilizado para os demais problemas que iremos nos deparar.

Algumas observações técnicas para a implementação. Foi necessário utilizar a biblioteca compilada para Mac OS disponibilizada pelo monitor para o código. Além disso, mudamos também a versão do gcc no Makefile para o gcc-7, para poder funcionar.

Referências

- [1] A. C. Kak and M. Slaney, *Principles of computerized tomographic imaging*. IEEE press, 1988.
- [2] Radon transform, “Radon transform — Wikipedia, the free encyclopedia,” 2016. [Online; accessed 21-April-2018].
- [3] P. Toft, “The radon transform. theory and implementation,” 1996.